



## برداری‌سازی محور مرکزی راه در تصاویر بزرگ مقیاس با آنالیز چندمعیاره توسط اپراتورهای میانگین‌گیر وزن دار ترتیبی در مدل گراف شبکه راه

فاطمه عامری<sup>\*</sup>، محمدجواد ولدان زوح<sup>۱</sup>، مهدی مختارزاده<sup>۲</sup>

۱. دانشجوی دکتری سنجش از دور، دانشکده مهندسی نقشه‌برداری دانشگاه صنعتی خواجه نصیرالدین طوسی

۲. دانشیار دانشکده مهندسی نقشه‌برداری دانشگاه صنعتی خواجه نصیرالدین طوسی

۳. دانشیار دانشکده مهندسی نقشه‌برداری، پژوهشکده سنجش از دور، دانشگاه صنعتی خواجه نصیرالدین طوسی

تاریخ پذیرش مقاله: ۱۳۹۴/۶/۲۲

تاریخ دریافت مقاله: ۱۳۹۲/۳/۲۵

### چکیده

امروزه روشی متداول در ایجاد پایگاه داده راه‌ها، استخراج آن‌ها از تصاویر رقومی هوایی و ماهواره‌ای است. با توجه به حجم بسیار داده‌های شبکه راه و نیاز به بهنگام کردن آن‌ها با کمترین زمان و هزینه محاسباتی، اتوماسیون فرایند استخراج اطلاعات راه در حال تبدیل به یکی از ملزمات عصر جدید است. در تحقیق حاضر که بیشتر بر مرحله برداری‌سازی راه تأکید دارد، سیستمی هوشمند برای برداری‌سازی اتوماتیک نتایج کشف راه، با کمترین میزان دخالت عامل انسانی، طراحی شده است. سیستم طراحی‌شده دارای دو مرحله اساسی تعیین نقاط کلیدی راه و برقراری اتصال بین آن‌ها است. نخست، با استفاده از تکنیک خوشه‌بندی بر مبنای الگوریتم انبوه ذرات نقاط اصلی نمایانگر محور مرکزی راه تعیین می‌شوند. سپس، با در نظر گرفتن مدل گراف وزن دار برای شبکه راه‌های تصویر، تعیین معیارهای هندسی مناسب و تلفیق این معیارها از سوی عملگرهای میانگین‌گیر وزن دار ترتیبی، هزینه هر اتصال محاسبه می‌شود. اتصالات دارای کمترین هزینه، به صورت قطعات نهایی راه در تشکیل شبکه برداری راه شرکت می‌کنند. نتایج حاصل از پیاده‌سازی روش پیشنهادی روی چندین تصویر بزرگ مقیاس ماهواره‌ای و مقایسه آن‌ها با نتایج الگوریتم درخت‌پوشای کمینه تأیید کننده موفقیت روش پیشنهادی در استخراج شبکه راه با دقت و صحت بالا است. براساس نتایج ارزیابی، روش پیشنهادی قادر است شبکه راه‌های تصویر را با میانگین RMSE حدود ۰/۹ متر، میانگین completeness حدود ۰/۹۴٪ و میانگین correctness بیش از ۹۵٪ برداری کند. در مجموع، الگوریتم پیشنهادی در برداری‌سازی راه‌های با اشکال مختلف شامل راه‌های مستقیم، راه‌های دارای انحصار، راه‌های با ضخامت‌های متفاوت، راه‌های موازی با فواصل متغیر، تقاطع و میدان موفقیت‌آمیز عمل کرده است.

**کلیدواژه‌ها:** خوشه‌بندی، الگوریتم انبوه ذرات، برداری‌سازی راه، عملگر میانگین‌گیر وزن دار ترتیبی.

\* نویسنده عهده‌دار مکاتبات: دانشکده مهندسی نقشه‌برداری، دانشگاه خواجه نصیرالدین طوسی، تقاطع خیابان ولی‌عصر و میرداماد، تلفن: ۰۹۱۲۲۵۷۳۳۸۷

Email: fameri@mail.kntu.ac.ir

## ۱- مقدمه

چند مرحله شامل پاکسازی<sup>۱</sup>، طبقه‌بندی، استخراج اسکلت راه، نازک‌سازی و پاکسازی اسکلت استخراج شده تا رسیدن به ضخامت یک پیکسل، تشکیل گراف شبکه راه، و در پایان، رفع ناپیوستگی‌های راه با استفاده از مورفولوژی ریاضی الگوریتم جدیدی برای برداری‌سازی راههای موجود در تصویر حاصل از کشف راه ارائه کرده است. شواهد مؤید پیچیدگی روش برداری‌سازی ارائه شده، از لحاظ تعداد مراحل و صرف زمان بسیار محاسباتی و همچنین، ارائه نشدن راهکار مناسب برای مقابله با آثار نویز است.

در تحقیق دیگری، نواحی شامل کلاس راه با استفاده از طبقه‌بندی براساس تئوری فازی استخراج شده است (Mohammadzadeh et al., 2006). به دنبال آن، قطعات راه با عملیات مورفولوژی متوالی، مانند opening و closing بهبود یافته‌ند تا بیرون‌زدگی‌های موجود در راه حذف شود و حفره‌ها پر شوند و شبکه کاملی از راه به دست آید.

کلود و همکاران (۲۰۰۷) برای برداری‌سازی راه از روش PCD<sup>۲</sup> بهره برده‌اند. در این روش، تابع نمایی پیچیده‌ای با تصویر راه کانولو می‌شود و تصاویر دامنه و فاز در فضای فرکانس محاسبه می‌شوند. موقعیت مراکز راه و عرض آن از تصویر دامنه، و زاویه امتداد راه از تصویر فاز قابل استخراج است. پس از آن، مختارزاده و همکاران (۲۰۱۰) الگوریتم جدیدی با عنوان بیضی‌های افرایشی جهت نمایش کشیدگی قطعات راه در مرحله خوش‌بندی و روشی جدید بر پایه خوش‌بندی فازی تصویر برای ایجاد اتصال بین نقاط نماینده هر خوش، معرفی کردند. روش جدید معرفی شده در این تحقیق، جدا از ضخامت قطعات گوناگون راه و بدون نیاز به تخمین تعداد اولیه خوش‌های تصویری قادر به برداری‌سازی محور مرکزی راه است. اما پیچیدگی الگوریتم تعیین و اتصال نقاط مهم راه، از جمله نقاط ضعف این روش در مرحله برداری‌سازی راه محسوب می‌شود.

1. Delaunay Triangulation  
3. Phase Coded Disk

2. cleaning

شبکه راه‌ها یکی از مهم‌ترین زیربنای اساسی هر کشور محسوب می‌شود که بخش عمده‌ای از حمل و نقل کالا و مسافر از طریق آن صورت می‌گیرد. بنا بر آمار ارائه شده از سوی پایگاه خبری تحلیلی صنعت حمل و نقل وابسته به سازمان راهداری و حمل و نقل جاده ای، حدود ۹۵٪ از جابه‌جایی‌های کالا و مسافر در کشور از طریق راه‌ها صورت می‌گیرد که این امر نشان از اهمیت تولید و ذخیره‌سازی دقیق اطلاعات راه‌ها در پایگاه‌های داده کشور دارد.

امروزه روشی معمول در ایجاد پایگاه داده راه‌ها، استخراج آن‌ها از تصاویر رقومی هوایی و ماهواره‌ای، به تنهایی، یا تلفیق آن با سایر منابع داده است. در حال حاضر، بخش عمده‌ای از عملیات استخراج عارضه به صورت دستی صورت می‌گیرد. بنابراین، اتوکماسیون مراحل تولید نقشه از تصاویر که معمولاً مبتنی بر استخراج اتوماتیک عوارض از تصاویر بزرگ مقیاس است، با هدف کاهش زمان و هزینه اجرا، از عمده‌ترین زمینه‌های تحقیقاتی در علوم سنجش از دور و فتوگرامتری به شمار می‌رود.

هدف از برداری‌سازی راه، استخراج محور مرکزی آن از تصاویر رقومی است. از جمله تحقیقاتی که در حیطه برداری‌سازی راه صورت گرفته، ارائه روشی برای استخراج مناطق دارای کشیدگی، با تحلیل تصویر باینری حاصل از روش خوش‌بندی است که منجر به استخراج نقاط مهم راه و در نهایت، اسکلت عارضه راه از تصاویر بزرگ مقیاس فضایی می‌شود (Doucette et al., 2001). همچنین، فرچیچی و ونگ (۲۰۰۵) با خوش‌بندی عارضه راه به برداری‌سازی محور مرکزی آن پرداخته‌اند. در این تحقیق، خوش‌های نویز براساس ویژگی دانسیتۀ خوش نیز قابل شناسایی‌اند. منا (۲۰۰۲) روشی عملی برای استخراج اتوماتیک اسکلت راه براساس تکنیک خوش‌بندی کامینز و روش مثلث‌بندی دلوانی<sup>۳</sup> ارائه کرده است. همین نویسنده در مقاله دیگر خود، (Mena, 2006) به منظور تکمیل روش پیشین، طی

از یکسو، و لزوم افزایش صحت و تمامیت راههای استخراج شده از سوی دیگر، در تحقیق حاضر روشی هوشمند برای برداری‌سازی اتوماتیک نتایج کشف راه، با کمترین میزان دخالت عامل انسانی، پیشنهاد شده است. در این تحقیق فرض بر این است که راههای موجود در تصویر با استفاده از یکی از انواع روش‌های کشف راه شناسایی شده‌اند. سپس با استفاده از تکنیک بهینه‌سازی خوشبندی در فضای تصویر و تعریف معیارهای هندسی مناسب برای قطعات راه و تلفیق این معیارها با عملگرهای میانگین‌گیر وزن‌دار ترتیبی<sup>۱</sup> محور مرکزی راه تشکیل می‌شود. پس از آن، برای بررسی مزایای روش پیشنهادی، نتایج آن با روش مطرح دیگری در حوزه برداری‌سازی راه مقایسه می‌شود. پس از بیان مقدمه در بخش نخست، عملگرهای میانگین‌گیر وزن‌دار ترتیبی در بخش دوم معرفی می‌شوند. در بخش سوم این مقاله، الگوریتم پیشنهادی برداری‌سازی راه و مراحل آن تشریح می‌شود، و نتایج حاصل از پیاده‌سازی آن و ارزیابی آن‌ها در بخش چهارم ارائه می‌شوند. بخش پنجم نیز، جمع‌بندی و آخرین بخش این مقاله است.

**۲- معرفی عملگرهای میانگین‌گیر وزن‌دار ترتیبی**  
عملگرهای میانگین‌گیر وزن‌دار ترتیبی را نخستین بار یاگر در سال ۱۹۸۸ معرفی کرد که مجموعه گسترده‌ای از اپراتورهای تلفیق مانند بیشینه، کمینه، میانگین ریاضی و غیره را در بر می‌گیرند. مطابق رابطه (۱)، این عملگرهای تعریف‌کننده نگاشتی بعدی OWA:  $R^n \rightarrow R$  هستند که در آن بردار وزن شامل ...  $w_n, w_2, w_1$  در بازه [۰, ۱] است، هر یک از مؤلفه‌های بردار وزن با تعادل  $n$  مقدار عددی در مجموعه داده‌ها به ترتیب نزولی

1. Ordered Weighted Averaging (OWA)

عامری و همکاران (۱۳۹۰) برای برداری‌سازی راههای با اشکال متفاوت، روشی نیمه‌اتوماتیک از تصاویر با قدرت تفکیک مکانی مختلف پیشنهاد کرده‌اند. در این تحقیق از تلفیق خوشبندی در فضای تصویر به منظور دستیابی به نقاط اصلی راه و الگوریتم درخت‌پوشای کمینه در تئوری گراف برای برقراری اتصال بین این نقاط استفاده شده است.

خلالی و همکاران (۱۳۹۲) استخراج عارضه راه از تصاویر راداری و اپتیک بالا را با یکدیگر مقایسه کرده‌اند. نتایج خروجی حاصل از این الگوریتم‌ها نشان‌دهنده موفقیت تصاویر راداری در استخراج راه، در مناطقی با بافت شهری، بهویژه همراه با راههای کم‌عرض و کوچه‌ها و ضعف آن در استخراج راه در مناطق با پوشش گیاهی انبوه است. در حالی که تصاویر اپتیک می‌توانند بافت شهری را از مناطق دارای پوشش گیاهی به راحتی تفکیک کنند. بنابراین، با توجه به قابلیت‌های هر یک از این تصاویر در استخراج راه، تلفیق ویژگی‌های این دو منبع به منظور رفع نواقص و افزایش دقت الگوریتم‌های حاضر، روشی کارآمد به شمار می‌آید.

به تازگی روشی جدید در استخراج راه و محور مرکزی آن پیشنهاد شده که براساس نحوه جریان آب در کانالی با مرز مشخص، شبکه راه را مدل‌سازی می‌کند (Shanmugam and Kaliaperumal, 2015). در این روش، جهت حرکت و عرض راه با استفاده از تکنقطه‌ای که به صورت دستی انتخاب می‌شود، مشخص می‌گردد و سپس، به کمک اطلاعات درجه خاکستری راه و عرض آن راههای موجود در تصویر شناسایی می‌شود و محور مرکزی آن به دست می‌آید. الگوریتم پیشنهادی قادر است راههای منحنی به شکل U و S، و تقاطع‌هایی به شکل‌های L, T و X را استخراج کند. کاهش صحت شناسایی راه در مناطق شهری پیچیده از نقاط ضعف روش پیشنهادی است.

با توجه به اهمیت نمایش برداری راه‌ها و کاربرد آن در سیستم‌های ناوبری و یا سیستم‌های اطلاعات مکانی

یاگر (۱۹۸۸) به منظور توصیف رفتار عملگر OWA، پارامتری به نام «ORness» تعریف کرد. این پارامتر که نمایانگر میزان شباهت عملگر OWA به اپراتور OR است، مطابق رابطه (۳) تعریف می‌شود

رابطه (۳)

$$Orness(W) = \frac{1}{(n-1)} \sum_{j=1}^n ((n-j) \cdot w_j)$$

براساس این رابطه، چنانچه رفتار عملگر تلفیق از کمینه به بیشینه تغییر یابد، میزان ORness از ۰ به ۱ تغییر می‌کند. براساس رابطه (۳) می‌شود فهمید

رابطه (۴)

$$\begin{aligned} \text{عملگر کمینه } & \rightarrow ORness(0, \dots, 0, 1) = 0 \\ \text{عملگر بیشینه } & \rightarrow ORness(1, 0, \dots, 0) = 1 \\ \text{عملگر میانگین } & \rightarrow ORness\left(\frac{1}{n}, \frac{1}{n}, \dots, \frac{1}{n}\right) = \frac{1}{2} \end{aligned}$$

<sup>۱</sup>

عملگر تلفیق خطی وزن دار<sup>۱</sup> مقدار ORness استراتژی تصمیم‌گیری مناسب را برای رسیدن به جواب مطلوب تعیین می‌کند. بر همین اساس، وزن‌های ترتیبی OWA با استفاده از رابطه (۵) محاسبه می‌شوند

$$w_j = \left(\frac{j}{n}\right)^{\alpha} - \left(\frac{j-1}{n}\right)^{\alpha} \quad \text{رابطه (۵)}$$

در رابطه بالا،  $\alpha$  که درجه خوشبینی است، مطابق رابطه (۶) با ORness در ارتباط است

$$ORness = \frac{1}{1+\alpha} \quad \alpha \geq 0 \quad \text{رابطه (۶)}$$

با تغییر  $\alpha$  طیفی از استراتژی‌های تصمیم‌گیری مختلف بین دو حالت AND و OR منطقی شکل می‌گیرد. طبق جدول ۱، استراتژی مرتبط با  $\alpha = 0$  معادل با استراتژی بین‌نهایت بدینانه است زیرا فقط معیارهای با مقادیر کم در فرایند تلفیق مشارکت می‌کنند. از سوی دیگر، استراتژی بین‌نهایت خوشبینانه معادل با  $\alpha = 1$  است زیرا مقادیر بالای معیارها در فرایند تلفیق به کار می‌روند (Jelokhani and Malczewski, 2014).

#### 1. Weighted Linear Combination (WLC)

مرتب شده و سپس، با توجه به موقعیت مرتب شده آن با بردار وزن، وزن دهنده می‌شوند. چنانچه  $c_j$  نشانگر  $j$  امین مقدار بزرگ در A باشد، خواهیم داشت:

$$OWA(A) = \sum_{j=1}^n w_j c_j \quad \text{رابطه (۱)}$$

مهم‌ترین ویژگی عملگرهای OWA انعطاف‌پذیری آن‌ها در مدل‌سازی گستره وسیعی از استراتژی‌های تصمیم‌گیری است (Cornelis et al., 2010). هدف اصلی از عملیات مرتب‌سازی با این عملگر، مشخص کردن درجه اهمیت معیارها، بسته به کاربرد مورد نظر است. برای نمونه عملگرهای کمینه، میانگین و بیشینه با استفاده از عملگرهای OWA مطابق رابطه (۲) مدل می‌شوند:

$$\text{رابطه (۲)}$$

Minimum:  $W_{\min} = \{w_j\}$ , where  $w_n = 1$ ,  $w_j = 0$ ,  $j \neq n$  (الف)

Average:  $W_{\text{avg}} = \{w_j\}$ , where  $w_j = 1/n$ ,  $j = 1, \dots, n$  (ب)

Maximum:  $W_{\max} = \{w_j\}$ , where  $w_1 = 1$ ,  $w_j = 0$ ,  $j \neq 1$  (ج)

عملگر کمینه، مطابق با اپراتور منطقی «AND» شرایط تحقق «همه» ملزمات را فراهم کرده و عملگر بیشینه، معادل با اپراتور منطقی «OR» است و «دست کم یکی» از شرایط را تأمین می‌کند (Yager, 1988). در عملگرهای میانگین‌گیر وزن دار ترتیبی دو نوع وزن، شامل وزن‌های ترتیبی و وزن معیارها، تعریف می‌شوند که در ادامه آن‌ها را معرفی می‌کنیم.

#### ۲-۱- تعیین وزن‌های ترتیبی

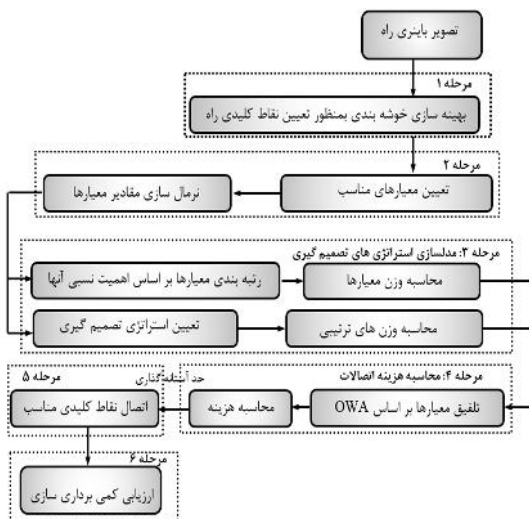
وزن‌های ترتیبی، در واقع، درجه اهمیت نسبی هر یک از آرگومان‌های مورد استفاده در فرایند تلفیق را نشان می‌دهند. با انتخاب وزن‌های مناسب درون بردار وزن، آرگومان‌های گوناگون، بسته به موقعیتشان در داخل ماتریس مرتب شده مقادیر معیارها، مورد تأکید قرار می‌گیرند. برای نمونه، چنانچه بیشتر وزن‌ها بالای بردار  $w$  تمرکز یابد، معیارهای با مقدار بالا مورد تأکید بیشتری قرار می‌گیرند و در صورتی که وزن‌ها بیشتر در پایین  $w$  تجمع یافته باشد، معیارهای با مقادیر کمتر مورد توجه بیشتر قرار می‌گیرند.

جدول ۱. استراتژی‌های تصمیم‌گیری مختلف معادل با انتخاب مقادیر ORness و  $\alpha$  متفاوت  
منبع: Jelokhani and Malczewski, 2014

$\alpha$	ORness	استراتژی تلفیق	استراتژی تصمیم‌گیری
.	۱	Logic OR (Max)	بی‌نهایت خوشبینانه
.۱	.۹	—	بسیار خوشبینانه
.۴	.۷	—	خوب
۱	.۵	WLC	خنثی
۲	.۳	—	بدینانه
۱۰	.۱	—	بسیار بدینانه
$\infty$	۰	Logic AND (Min)	بی‌نهایت بدینانه

### ۳- الگوریتم پیشنهادی برداری‌سازی محور مرکزی راه

روش پیشنهادی برداری‌سازی محور مرکزی راه روشی اتوماتیک براساس مدل گراف شبکه راه است. طبق این مدل، مجموعه‌ای از نقاط به نام نقاط کلیدی که روی محور مرکزی راه مستقرند، مجموعه نودهای مدل گراف شبکه راه را تشکیل می‌دهند. به منظور بررسی امکان اتصال این نقاط به یکدیگر، هزینه اتصال بین هر دو نود محاسبه می‌شود و نودهای با کمترین هزینه اتصال، برای تشکیل تپولوژی شبکه، راه، به یکدیگر متصل می‌شوند. به این صورت مجموعه یال‌های گراف شبکه راه تشکیل می‌شود. در شکل ۱ الگوریتم پیشنهادی برداری‌سازی محور مرکزی راه ارائه شده که در ادامه، مراحل گوناگون آن شرح داده می‌شود.



شکل ۱. فلوچارت روش پیشنهادی برداری‌سازی محور مرکزی راه

### ۲-۲- تعیین وزن معیارها

در بسیاری از کاربردهای تلفیق معیارها، افزون بر وزن‌های ترتیبی، وزن‌های دیگری به منظور تأکید بر اهمیت و اولویت نسبی معیارها مورد نیاز است. برای تلفیق وزن‌های ترتیبی و وزن‌های معیارها، یا اگر رابطه (۷) روشی را مطابق با رابطه (۷) معرفی کرده است

$$w_j = \frac{\sum_{k=1}^j v_k}{\sum_{k=1}^n v_k}^{\alpha} - \left( \frac{\sum_{k=1}^{j-1} v_k}{\sum_{k=1}^n v_k} \right)^{\alpha} \quad (7)$$

از آنجا که مجموع وزن‌های معیارها برابر با عدد ۱ است، برای هر مقدار داده  $\alpha$  درون مجموعه داده‌ها می‌شود روابط (۸) و (۹) را نتیجه‌گیری کرد

$$w_j = (\sum_{k=1}^j v_k)^{\alpha} - (\sum_{k=1}^{j-1} v_k)^{\alpha} \quad (8)$$

رابطه (۹)

$OWA_i = \sum_{j=1}^n \left( (\sum_{k=1}^j v_k)^{\alpha} - (\sum_{k=1}^{j-1} v_k)^{\alpha} \right) \cdot c_j$  که  $\alpha$  براساس رابطه (۶) نشانگر استراتژی تصمیم‌گیری است. روشی ساده و مطمئن برای تخمین وزن معیارها، رتبه‌بندی معیارها براساس اولویت آن‌هاست (Stillwell et al., 1981).

وزن معیار زام از رابطه (۱۰) محاسبه می‌شود

$$v_j = \frac{n-r_j+1}{\sum_{k=1}^n (n-r_k+1)} \quad (10)$$

در این رابطه  $n$  اولویت هر معیار را نشان می‌دهد. برای نمونه، مهم‌ترین معیار دارای اولویت اول، دومین معیار دارای اولویت دوم و به همین ترتیب، کم‌اهمیت‌ترین معیار دارای اولویت آخر است. در این رابطه،  $n$  نشانگر تعداد معیارهای است. براساس رابطه (۱۰) هر چه معیاری اولویت بالاتری داشته باشد، وزن بیشتری به آن اختصاص می‌یابد.

- اختلاف راستا (DD): این معیار زاویه بین امتدادهای میان دو اتصال است. امتداد هر اتصال نیز، در واقع، امتداد بردار حاصل از اتصال دو نقطه کلیدی انتهایی آن است.

- همپوشانی دایره‌ای (CI): برای تعریف این معیار، دایره‌ای به شعاع  $R$  و به مرکز هر نقطه کلیدی در نظر گرفته می‌شود. همپوشانی فصل مشترک دوایر منتبه به نقاط کلیدی با تصویر باینری راه در حالت  $d < 2R$  احتمال اتصال این نقاط را تعیین می‌کند. به بیان دیگر، هرچه تعداد پیکسل‌های راه در محل اشتراک دوایر متناظر دو نقطه کلیدی بیشتر باشد، این دو نقطه با احتمال بیشتری، برای تشکیل توپولوژی راه، باید به یکدیگر اتصال یابند.

از بین سه معیار هندسی معرفی شده، هرچه مقدار معیارهای  $d$  و DD کمتر و مقدار CI بیشتر باشد، جهت دستیابی به اتصالات صحیح در گراف شبکه راه مطلوب‌تر است. از آنجا که معیارهای معرفی شده مقدار عددی دارند، برای فراهم کردن امکان مقایسه آنها، روش نرمال‌سازی مقادیر با فرایند «بیشینه امتیاز» (Malczewski, 1999) پیشنهاد می‌شود. در جدول ۲ محدوده مقدار معیارها و توابع نرمال‌سازی آن‌ها معرفی شده است. از بین این معیارها،  $d$  و DD معیارهای هزینه و CI معیار سود محاسبه شده که برای فراهم کردن امکان مقایسه با معیارهای هزینه، باید از عدد یک کسر شود. در جدول ۱ کمیت  $d_{max}$  بیشینه فاصله بین نقاط کلیدی،  $DD_{max}$  بیشینه اختلاف راستا و  $CI_{max}$  نیز بیشینه مجموع تعداد پیکسل‌های راه در فصل مشترک دوایر متناظر است.

جدول ۲. محدوده مقدار معیارها و توابع نرمال‌سازی آن‌ها

معیارها	تابع نرمال‌سازی	محدوده مقادیر
(d)	فاصله	$[0 \infty)$
(DD)	اختلاف راستا	$[0 \pi/2]$
(CI)	همپوشانی دایره‌ای	$[0 \infty)$

$N(D) = d/d_{max}$

$N(DD) = DD/DD_{max}$

$N(CI) = 1 - CI/CI_{max}$

1. Particle Swarm Optimization (PSO)
2. binary PSO
3. K-medians
4. maximum score

### ۱-۳- مرحله نخست الگوریتم: خوشبندی به منظور تعیین نقاط کلیدی راه

خوشبندی برای تعیین نقاط کلیدی راه در فضای تصویر و روی موقعیت مکانی پیکسل‌های راه صورت می‌گیرد. در این تحقیق، روش خوشبندی براساس الگوریتم بهینه‌سازی انبوه ذرات<sup>۱</sup>، (Omran et al., 2006) به منظور خوشبندی پیکسل‌های راه، در فضای تصویر تغییر یافته و مورد استفاده قرار گرفته است. الگوریتم تغییر یافته، در واقع، تلفیقی از نسخه باینری الگوریتم بهینه‌سازی انبوه ذرات<sup>۲</sup> (Kennedy and Eberhart, 1997) با هدف تعیین اتوماتیک تعداد و توزیع مناسب نقاط کلیدی راه، و الگوریتم کامدینز<sup>۳</sup> به منظور تنظیم دقیق موقعیت نقاط کلیدی است. شایان ذکر است که نقاط کلیدی راه، در واقع، مراکز خوشبندی به دست آمده از الگوریتم خوشبندی مذکورند. عملیات خوشبندی پیکسل‌های راه تا رسیدن به بهترین مجموعه از نقاط کلیدی که تعداد و موقعیت آن‌ها روی تصویر باینری راه بهینه شده، تکرار می‌شود.

### ۲- مرحله دوم الگوریتم: تعریف معیارهای هندسی راه

به منظور برقراری اتصالات صحیح بین نقاط کلیدی، توجه به ویژگی‌های عارضه راه و نحوه آشکار شدن آن در تصویر بسیار سودمند است. با توجه به اینکه ورودی ما در الگوریتم پیشنهادی تصویر باینری کلاس راه است، معیارهای رادیومتریک این عارضه مانند درجات خاکستری آن، اطلاعات مفیدی در اختیار ما نمی‌گذارد. بنابراین در الگوریتم پیشنهادی، معیارهای هندسی عارضه راه که معرف شکل راه و رابطه قطعات گوناگون راه با یکدیگرند، اطلاعات تکمیلی برای برقراری اتصال بین نقاط کلیدی به شمار می‌آیند. در این تحقیق، سه معیار هندسی به کار رفته که احتمال اتصال نقاط کلیدی به یکدیگر را تعیین می‌کنند:

- فاصله (d): این معیار فاصله اقلیدسی بین نقاط کلیدی را تعیین می‌کند که معادل با طول اتصالات است.

به عبارت دیگر، استراتژی تصمیم‌گیری مستقیماً بر مقدار هزینهٔ هر اتصال تأثیر می‌گذارد.

### ۴-۵-۳ مرحلهٔ پنجم الگوریتم: اتصال نقاط کلیدی مناسب

برای برقراری اتصالات درست بین نقاط کلیدی و تشکیل توپولوژی شبکه راه، مدل گراف شبکه راه مورد استفاده قرار گرفته است. نودهای این گراف نقاط کلیدی معرف مراکز خوش، و یالهای آن اتصالات معرف قطعات راه هستند. در این مرحله، هدف انتخاب اتصالات دارای کمینهٔ هزینه بهمترین قطعات راه است. محاسبهٔ هزینهٔ همهٔ اتصالات بین نقاط کلیدی از لحاظ محاسباتی فرایندی زمانبر است که لزومی نیز به انجام دادن آن نیست. زیرا هرچه نقاط کلیدی به یکدیگر نزدیک‌تر باشند، به احتمال بیشتری به یک قطعه از راه تعلق دارند و همچنین، هزینهٔ اتصال آن‌ها کمتر است. به همین منظور در این تحقیق، نخست به کمک الگوریتم  $k$  نزدیک‌ترین همسایه<sup>۱</sup>، نزدیک‌ترین نقاط کلیدی مورد نظر پیدا می‌شود تا زمان محاسبهٔ هزینه کاهش یابد. به این شکل، فقط هزینهٔ اتصال نقاط کلیدی همسایه محاسبه می‌شود. مقدار  $k$  نیز با توجه به تعداد انشعابات راه در محل تقاطع‌ها تعیین می‌شود. برای نمونه، چنانچه در تصویری نهایتاً چهار راه وجود داشته باشد، مقدار  $k$  برابر با ۴ در نظر گرفته می‌شود.

شکل ۲ فلوچارت الگوریتم اتصال نقاط کلیدی را نشان می‌دهد که مراحل آن در ادامه تشریح می‌شود:

- به ازای هر نقطه کلیدی ( $RKP_i$ ) در مجموعهٔ نقاط کلیدی ( $ORKP$ )، نقطه کلیدی همسایه مشخص می‌شود.
- اتصالات (LS) بین نقطه کلیدی مورد نظر و  $k$  نقطهٔ کلیدی همسایه تعیین می‌شود.
- در صورتی که اتصال مورد نظر در مجموعهٔ قطعات راه نباشد، هزینهٔ اتصال با استفاده از رابطه (۱۱) محاسبه می‌شود.

1. k-nearest neighbor

### ۴-۳-۳ مرحلهٔ سوم الگوریتم: مدل‌سازی استراتژی تصمیم‌گیری

در این مرحله از الگوریتم، با تعیین درجهٔ خوشبینی از رابطه (۶)، استراتژی تلفیق مشخص می‌شود و وزن‌های ترتیبی از رابطه (۵) به دست می‌آیند. به همین ترتیب، با رتبه‌بندی معیارها براساس اولویت آن‌ها و استفاده از رابطه (۱۰)، وزن معیارها نیز محاسبه می‌شود. در یک سر این طیف وضعیتی است که در آن تمایل به تحقق بسیاری از معیارها وجود دارد و بنابراین، باید مقادیر کوچک‌تری برای ORness انتخاب شود. در سر دیگر این طیف وضعیتی است که تحقق دست‌کم یکی از معیارها نیز مطلوب است که انتخاب مقادیر بالاتر ORness این امر را تضمین می‌کند. به طور کلی، انتخاب استراتژی تصمیم‌گیری مناسب بر عهدهٔ کاربر است و بسته به نوع مسئله و شرایط آن فرق می‌کند.

### ۴-۴-۳ مرحلهٔ چهارم الگوریتم: محاسبهٔ هزینهٔ اتصالات

برای محاسبهٔ هزینهٔ هر اتصال بین دو نقطهٔ کلیدی، پس از انتخاب استراتژی تصمیم‌گیری و وزن معیارها با عملگر میانگین‌گیر وزن‌دار ترتیبی معرفی شده در رابطه (۹)، معیارها باید با یکدیگر تلفیق شوند. با استفاده از این عملگر، معیارهای معرف اتصالات راه به مقادیر نرمال‌شده در بازه [۰, ۱] تبدیل می‌شوند. پس از عملیات تلفیق معیارها، هزینهٔ هر اتصال با رابطه (۱۱) محاسبه می‌شود

$$\text{Cost}(i) = \text{OWA}_i \cdot d_i / \text{CI}_i \quad (11)$$

با توجه به این رابطه، مقدار هزینهٔ هر اتصال با طول آن اتصال رابطه مستقیم، و با پارامتر CI رابطه معکوس دارد. یعنی با افزایش فاصله بین نقاط کلیدی و کاهش تعداد پیکسل‌های راه در محدوده مشترک دوایر منتبه به آن‌ها، هزینه افزایش می‌یابد. افزایش هزینه به انتخاب نشدن اتصال متناظر با قطعه راه منتهی می‌شود. همچنین، هزینهٔ هر اتصال با مقدار عملگر میانگین‌گیر وزن‌دار ترتیبی نیز رابطه‌ای مستقیم دارد.

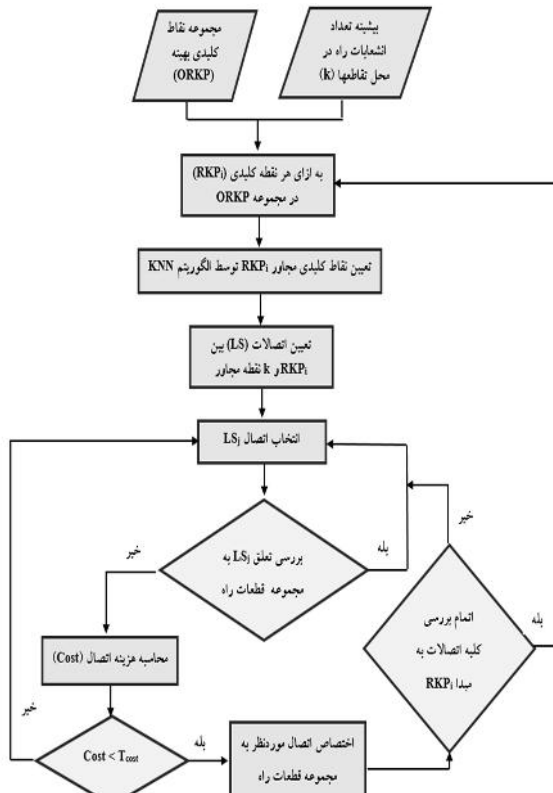
بافر و محاسبه سه پارامتر جذر میانگین مربع خطای تمامیت<sup>۳</sup> و صحت<sup>۴</sup>، نتایج ارزیابی می‌شوند.

#### ۴- پیاده‌سازی و ارزیابی نتایج

به منظور تعیین استراتژی مناسب تصمیم‌گیری برای پذیرش یک اتصال در جایگاه قطعه‌ای از راه و یا رد آن، در تحقیق حاضر مقادیر مختلف ORness بین صفر و یک آزمایش شدند. نتایج بیانگر آن بود که انتخاب مقدار بالا برای این پارامتر منجر به افزایش مقدار عملگر میانگین گیر وزن دار ترتیبی می‌شود بنابراین، هزینه افزایش می‌یابد و در نتیجه، تعداد قطعات راه جافتاده در گراف شبکه راه بیشتر می‌شود. بر عکس، با انتخاب مقادیر پایین برای ORness، هزینه اتصالات کاهش می‌یابد و تعداد قطعات راه به اشتباہ استخراج شده افزایش می‌یابد. با توجه به این مسئله که در هر دو این حالت‌ها شبکه کامل و درستی از راه‌های برداری شده حاصل نشد، انتخاب استراتژی مناسب تصمیم‌گیری ضروری به نظر می‌رسد. در نهایت، با جایگزین کردن میانگین مقادیر OWA به دست آمده از انتخاب مقادیر مختلف ORness درتابع هزینه معرفی شده در رابطه (۱۱)، کامل‌ترین شبکه راه در تمامی تصاویر مورد آزمایش حاصل شد.

الگوریتم پیشنهادی استخراج محور مرکزی راه روی تصاویر بایزی حاصل از اکتشاف پیکسل‌های راه پیاده‌سازی شد. برای سنجش قابلیت الگوریتم پیشنهادی، این الگوریتم روی چندین تصویر بزرگ مقیاس مورد آزمایش قرار گرفت. برای همه تصاویر مورد آزمایش، مقدار  $T_{cost} = 1$  ،  $R = 0.7$  و  $k = 4$  در نظر گرفته شد. همچنین، میانگین OWA بهمنزله استراتژی مناسب تصمیم‌گیری در پذیرش یک قطعه راه یا رد آن در محاسبه هزینه در همه تصاویر انتخاب شد.

1. buffer method in consideration of direction difference
2. root mean square error (RMSE)
3. completeness
4. correctness



شکل ۲. فلوچارت الگوریتم پیشنهادی اتصال نقاط کلیدی راه

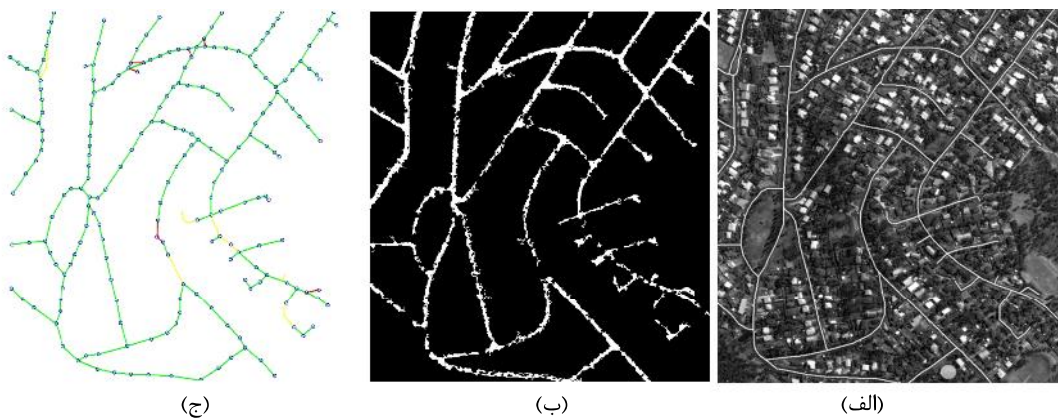
- چنانچه هزینه اتصال در محدوده مورد پذیرش، یعنی کوچک‌تر از حد آستانه  $T_{cost}$  باشد، اتصال مورد نظر در مجموعه قطعات راه واقع می‌شود. در غیر این صورت، اتصال بعدی مورد آزمایش قرار می‌گیرد.
- این فرایند تا انتخاب همه نقاط کلیدی موجود ادامه می‌یابد.

#### ۶-۳- مرحله ششم الگوریتم: ارزیابی کمی برداری‌سازی

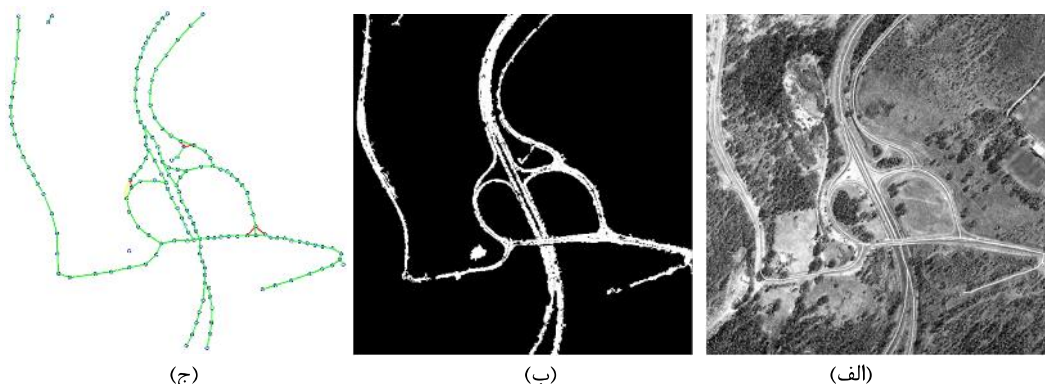
برای ارزیابی نتایج حاصل از استخراج محور مرکزی راه در این تحقیق، از روش بافر با در نظر گرفتن اختلاف راستا<sup>۱</sup> (Wiedemann, 2003) استفاده شده است. در این روش، بافری به عرض تقریبی نصف عرض راه‌های موجود در تصویر، اطراف راه در نظر گرفته می‌شود. سپس با مقایسه محور راه استخراج شده با محور راه مرجع - استخراج شده به صورت دستی - در محدوده این

شکل ۵ نیز نتایج حاصل از برداری‌سازی شبکه راه روی بخشی از تصویر شیراز به ابعاد  $450 \times 600$  در ناحیه غیرشهری نمایش داده شده است. روش به کار رفته برای کشف تصویر باینری راه در همه تصاویر تلفیق روش خوشبندی سی مینز فازی و استفاده از عملگرهای مورفولوژیکی تصویر (محمدزاده، ۱۳۸۸؛ عامری و همکاران، ۱۳۹۰) است.

شکل‌های ۳، ۴ و ۵ مراحل پیاده‌سازی الگوریتم پیشنهادی را روی تصاویر پن‌شارپ‌شده ایکنوس، شامل انواع گوناگون راه‌های مستقیم و راه‌های دارای انحصار راه‌های موازی و میدان، نمایش می‌دهد. شکل‌های ۳ و ۴ تصاویر شهر هوبارت (کشور استرالیا) را، به ترتیب، در ناحیهٔ متراکم شهری به ابعاد  $750 \times 650$  و ناحیهٔ غیرشهری به ابعاد  $700 \times 700$  نمایش می‌دهند. در



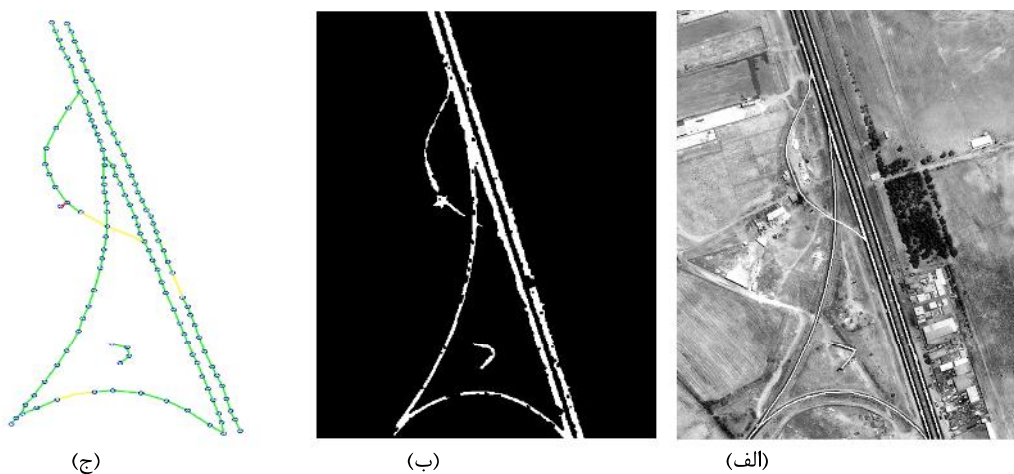
شکل ۳. نتایج تصویر هوبارت در ناحیهٔ شهری؛ (الف) تصویر اصلی و نقشهٔ راه‌های مرجع روی آن، (ب) تصویر باینری راه‌های کشف شده، (ج) نتایج الگوریتم پیشنهادی؛ راه‌های به درستی استخراج شده به رنگ سبز، راه‌های به اشتباه استخراج شده به رنگ قرمز و راه‌های جافتاده به رنگ زرد نمایش داده شده است.



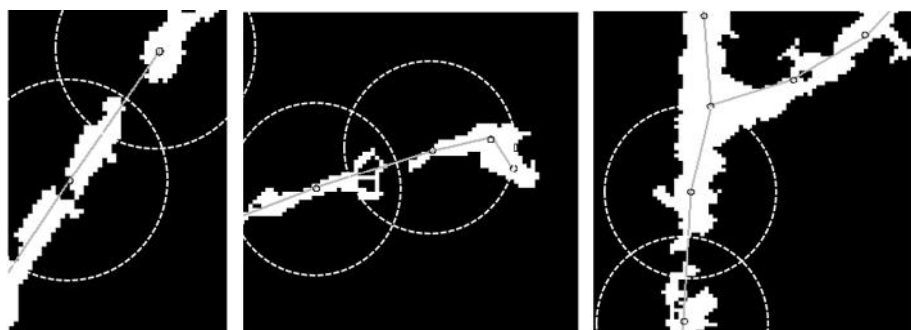
شکل ۴. نتایج تصویر هوبارت در ناحیهٔ غیرشهری؛ (الف) تصویر اصلی و نقشهٔ راه‌های مرجع روی آن، (ب) تصویر باینری راه‌های کشف شده، (ج) نتایج الگوریتم پیشنهادی؛ راه‌های به درستی استخراج شده به رنگ سبز، راه‌های به اشتباه استخراج شده به رنگ قرمز و راه‌های جافتاده به رنگ زرد نمایش داده شده است.

گپ در عارضه راه، اگر موجب افزایش فاصله بین نقاط کلیدی و نیز کاهش تعداد پیکسل های فصل مشترک دوایر منتظر با نقاط کلیدی (CI) شود، الگوریتم پیشنهادی به علت افزایش هزینه اتصال موفق به تشکیل اتصال موردنظر نمی شود و اتصال جاافتاده در محل گپ شکل می گیرد. این حالت در بخش هایی از تصویر باقی شهر هوبارت، در شکل ۷ نمایش داده شده است. در مجموع و با توجه به شکل های ۳ و ۴ و ۵، الگوریتم پیشنهادی اتصال قادر است محور مرکزی شبکه راه را در تصویر باقی شهر راه دارای گپ های کوچک متعدد، با موفقیت بیشتر برداری سازی کند که این امر نقطه قوتی برای الگوریتم اتصال پیشنهادی به شمار می آید.

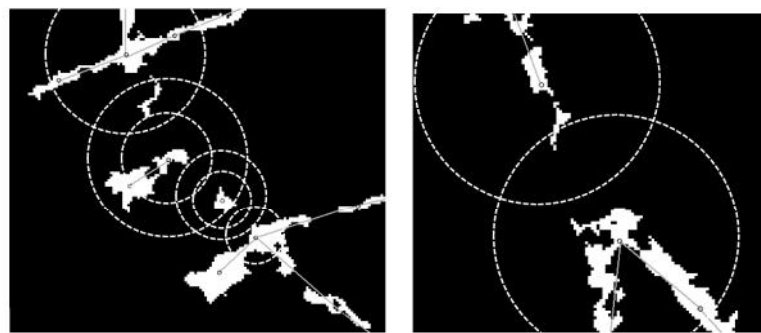
با مشاهده تصاویر متوجه می‌شویم در صورت وجود گپ در مسیر راه کشفشده در تصویر باینری راه که به علت عوارض زمینه تصویر مانند درختان، آنومبیل‌ها، ساختمان‌ها و سایه‌هایشان رخ می‌دهد، الگوریتم اتصال پیشنهادی به دو شکل عمل می‌کند. اگر اندازه گپ کوچک باشد و چندان موجب افزایش فاصله بین نقاط کلیدی نشود و همچنان، فصل مشترک دایره‌های متناظر با نقاط کلیدی دارای پیکسل‌های راه باشد، الگوریتم پیشنهادی با اتصال نقاط کلیدی مورد نظر گپ را به خوبی پوشش می‌دهد و از بروز اتصالات جافتاده در شبکه راه جلوگیری می‌کند. چنین حالتی در شکل ۶ شامل بخش‌هایی از تصویر باینری شهر هوبارت، مشاهده می‌شود. در صورت بزرگ بودن اندازه



شكل ۵. نتایج تصویر شیار در ناحیه غیرشهری؛ (الف) تصویر اصلی و نقشه راههای مرجع روی آن، (ب) تصویر باینری راههای کشیده، (ج) نتایج الگوریتم پیشنهادی: راههای به درستی استخراج شده به رنگ سبز، راههای به اشتباہ استخراج شده به رنگ قرمز و راههای حاافتاده به رنگ زرد نمایش داده شده است.



شکل ۶. تشکیل اتصالات صحیح در محل گپ، با در نظر گرفتن d و CI



شکل ۷. تشکیل نشدن اتصالات در محل گپ، با در نظر گرفتن d و CI

تشکیل نواحی بسته در مدل گراف شبکه راه را به وجود می آورند. این حالت (شکل ۸)، موجب کاهش صحت برداری سازی شبکه راه می شود. به طور کلی، با مشاهده نتایج برداری سازی محور مرکزی راه در تصاویر مورد آزمایش، متوجه می شویم که صرف نظر از موارد یادشده، روش پیشنهادی در تشکیل تopolوژی شبکه راه با موفقیت عمل همراه بوده است.

در جدول ۳، نتایج ارزیابی کمی دقت الگوریتم پیشنهادی در برداری سازی شبکه راه تصاویر مورد آزمایش خلاصه شده است. در این جدول، افزون بر نتایج روش پیشنهادی در این تحقیق، نتایج ارزیابی دقت الگوریتم درخت پوشای کمینه<sup>۱</sup> در اتصال نقاط

قطعات راه به اشتباه استخراج شده که روی تصویر با خطوط قرمز نمایش داده شده اند، بیشتر به دلیل عوارضی با ویژگی های طیفی مشابه راه، مانند معابر و پارکینگ ها، و بیشتر در نواحی مترراکم شهری، مانند تصویر شهری هوبارت مشاهده می شوند. چنانچه این عوارض در تصویر بازبینی حاصل از کشف راه به اشتباه جزء کلاس راه طبقه بندی نشوند، دقت الگوریتم پیشنهادی برداری سازی افزایش چشمگیری می یابد. یکی دیگر از علل برداری سازی اشتباه در تصویر، وجود تعدادی نقطه کلیدی مجاور یکدیگر در محل تقاطع راه هاست که به علت افزایش عرض راه در محل این تقاطع ها پدید آمده اند و امکان اتصال اشتباه نقاط و



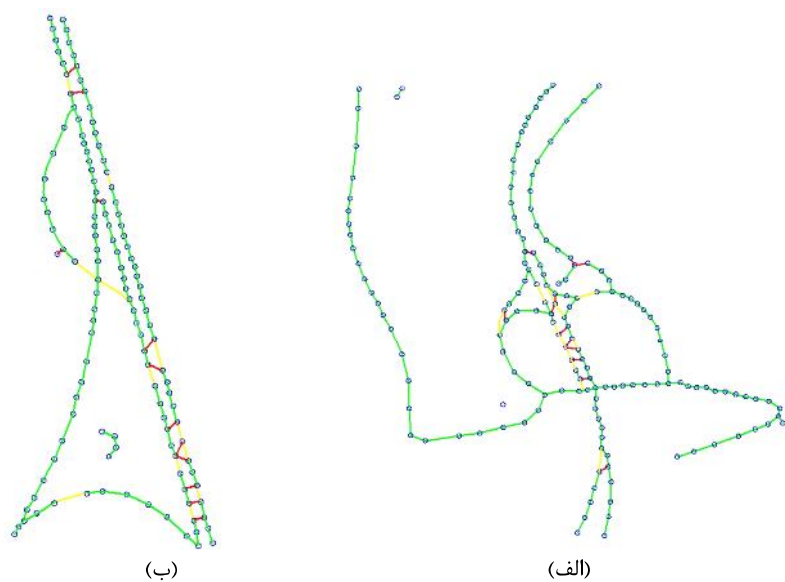
شکل ۸. نمونه هایی از اتصال اشتباه در محل تقاطع ناشی از تشکیل نواحی بسته در تصویر هوبارت، غیرشهری

1. minimum spanning tree (MST)

از دیگر مزایای روش پیشنهادی نیاز به تنظیم تعداد پارامترهای کم شامل  $k$ ,  $R$  و  $T_{cost}$  است. امکان آن هست که پارامتر  $k$  را که با توجه به تعداد انشعابات راه در محل تقاطع‌ها تعیین می‌شود، برای همه تصاویر به صورت یکسان در نظر گرفت. توجه به این نکته نیز ضروری است که در نظر گرفتن مقدار بالا برای این پارامتر فقط هزینه محاسباتی را افزایش می‌دهد.

از سوی دیگر، فاصله بین نقاط کلیدی باید از دوبرابر شعاع دایره‌های منتبه به آن‌ها کوچک‌تر باشد تا بین دو دایره همپوشانی پدید آید. بنابراین، شعاع این دایره‌ها باید بیشتر از نصف فاصله بین دو نقطه باشد. در این تحقیق مقدار  $R$ , برای همه تصاویر مورد آزمایش، در محدوده  $[0.05d, 0.06d]$  انتخاب شد. زیرا در صورتی که  $R > 0.07d$  باشد، احتمال شکل‌گیری اتصالات اشتباه به‌ویژه در راه‌های موادی نزدیک وجود دارد. از سوی دیگر، با انتخاب  $R$  در محدوده  $[0.05d, 0.06d]$  به دلیل کاهش همپوشانی دایر، مقدار  $CI$  کاهش می‌یابد و در نتیجه، هزینه اتصال مورد نظر بیشتر می‌شود. افزایش هزینه نیز به حذف اتصال منظور در مجموعه قطعات راه و افزایش قطعات راه جافتاده در شبکه راه می‌انجامد.

کلیدی راه (عامری و همکاران، ۱۳۹۰) نیز ارائه شده است. با توجه به نقص الگوریتم درخت‌پوشای کمینه در ایجاد اتصال کامل در محل میدان‌ها و یا لوب‌های بسته در شبکه راه، میزان پارامترهای ارزیابی دقت این روش در مقایسه با روش پیشنهادی کاهش یافته است. از دیگر نقاط قوت روش پیشنهادی قابلیت برداری‌سازی صحیح راه‌های موازی نزدیک به یکدیگر در شکل‌های ۴ و ۵ است. در الگوریتم درخت‌پوشای کمینه، کم بودن فاصله نقاط کلیدی از یکدیگر در محل راه‌های موازی نزدیک، موجب سردرگمی الگوریتم در تشخیص نقاط کلیدی مناسب برای اتصال و موفق نشدن این الگوریتم در برقراری اتصالات درست می‌شود. نتیجه این سردرگمی کاهش مقادیر پارامترهای ارزیابی دقت روش درخت‌پوشای کمینه به نسبت روش پیشنهادی است. شکل ۹ نتایج اتصال نقاط کلیدی با الگوریتم درخت‌پوشای کمینه را، برای تصویر شیراز و تصویر هوبارت در ناحیه غیرشهری، نشان می‌دهد. با مقایسه این نتایج با نتایج اتصال حاصل از الگوریتم پیشنهادی (شکل‌های ۴(ج) و ۵(ج)) برتری روش پیشنهادی در برداری‌سازی راه‌های موازی نزدیک مشهود است.



شکل ۹. نتایج اتصال نقاط کلیدی با الگوریتم MST (الف) تصویر شیراز، (ب) تصویر هوبارت در ناحیه غیرشهری

جدول ۳. مقایسه نتایج ارزیابی دقت الگوریتم پیشنهادی با الگوریتم MST

تصاویر	پارامترهای ارزیابی دقت		
	Correctness (%)	Completeness (%)	RMSE (m)
هوبارت، شهری	روش پیشنهادی	۹۶	۹۵
	MST	۹۴	۱/۰۴
هوبارت، غیرشهری	روش پیشنهادی	۹۷	۱/۱
	MST	۹۳	۱/۳
شیراز	روش پیشنهادی	۹۳	۰/۶۷
	MST	۸۶	۰/۷۳

### ۵- نتیجه‌گیری و ارائه پیشنهاد

تحقیق حاضر با هدف برداری‌سازی نتایج کشف راه از تصاویر بزرگ مقیاس، با استفاده از تکنیک خوشه‌بندی پیکسل‌های راه در فضای تصویر، به کمک الگوریتم پیشنهادی انبوه ذرات و آنالیز چندمعیاره به وسیله اپراتورهای میانگین‌گیر وزن‌دار ترتیبی در مدل گراف شبکه راه انجام گرفته است. در این راستا، با تعریف چندین معیار هندسی از راه و تعیین استراتژی مناسب تلفیق معیارها، قطعات صحیح راه انتخاب شدند. نتایج برداری‌سازی گویای موفقیت الگوریتم پیشنهادی در برداری‌سازی محور مرکزی اشکال مختلف راه با دقت‌های بالا است. همچنین، این الگوریتم را می‌شود روی تصویر کلاس راه به دست آمده از روش‌های گوناگون اکتشاف راه نیز پیاده‌سازی کرد. نقشه راه حاصل از این روش با کمترین مداخله کاربر، دارای قابلیت ورود به سیستم‌های اطلاعات مکانی جهت تولید و بهنگام‌سازی نقشه راه‌هast. مدل سازی دقیق عوارض متن تصویر و تقاطع‌ها در تحقیقات آینده ممکن است به بهبود کیفیت هندسی و توپولوژیکی راه‌های استخراج شده از تصویر کمک شایانی بکند.

### ۶- منابع

خصالی الف، ولدان زوج، م.ج، دهقانی، م، مختارزاده، م، ۱۳۹۲، مقایسه استخراج عارضه راه در مناطق شهری از تصاویر با حد تفکیک بالای

از آنجا که مقدار OWA در محدوده [۰, ۱] قرار دارد، اگر  $d_i < CI_i$  باشد، هزینه هر اتصال نیز در محدوده [۰, ۱] قرار خواهد گرفت. از سوی دیگر، چنانچه هزینه بیشتر از «۰» خواهد شد. چون با افزایش فاصله بین نقاط کلیدی تعداد پیکسل‌های راه در محدوده همپوشانی دو دایره (CI) کاهش می‌یابد، احتمال تعلق اتصال مورد نظر به مجموعه قطعات راه نیز کمتر می‌شود. بنابراین، تأمین شرط  $d_i < CI_i$  برای دستیابی به شبکه کامل راه مطلوب‌تر است. سرانجام، با توجه به مطالب گفته شده و پس از آزمایش روی تصاویر گوناگون، به منظور دستیابی به کامل‌ترین شبکه راه، برای همه تصاویر  $T_{cost} = 1$  تعریف شد.

به طور کلی دستیابی به RMSE حدود ۰/۹ متر، میانگین completeness حدود ۹۴٪ و میانگین correctness حدود ۹۵٪ موفقیت چشمگیر الگوریتم پیشنهادی در استخراج محور مرکزی گونه‌های مختلف راه را، شامل راه مستقیم، راه‌های دارای انحنای، راه‌های موازی نزدیک، تقاطع‌ها، میدان‌ها و لوپ‌های بسته در شبکه راه نشان می‌دهد. ورودی الگوریتم پیشنهادی برداری‌سازی، تصویر باینری کلاس راه است بنابراین، قابلیت پیاده‌سازی آن روی تصویر باینری راه به دست آمده از روش‌های مختلف کشف راه وجود دارد. افزون بر این، می‌شود روش یادشده را جهت برداری‌سازی انواع عوارض خطی دیگر نیز به کار برد.

- Group Multicriteria Spatial Decision Support System for Parking Site Selection Problem: A Case Study, Land Use Policy, (42) 492–508.**
- Kennedy, J., & Eberhart, R.C., 1997, **A Discrete Binary Version of The Particle Swarm Algorithm**, In Proceedings of the IEEE International Conference on Systems, Man and Cybernetics, pages 4104-4108, IEEE Press, Piscataway, NJ, 1997.
- Omran, M.G., Engelbrecht, A.P. & Salman, A., 2006, **A Dynamic Clustering Using Particle Swarm Optimization with Application in Image Classification**, Pattern Analysis and Application. 332-344.
- Malczewski, J., 1999, **GIS and Multicriteria Decision Analysis**, Wiley, New York.
- Mena, J.B., 2002, **Vectorización Automática de una Imagen Binaria Mediante K-Means Degeneración de la Triangulación de Delaunay**, Revista de la Asociación Española de Teledetección 17, 21-29.
- Mena, J.B., 2006, **Automatic Vectorization of Segmented Road Networks by Geometrical and Topological Analysis of High Resolution Binary Images**, Knowledge-Based Systems 19, 704–718.
- Mohammadzadeh, A., Tavakoli, A. & ValadanZoej, M.J., 2006, **Road Extraction Based on Fuzzy Logic and Mathematical Morphology from Pan-Sharpened Ikonos Images**, Photogrammetric Record, 21(113): 44-60.
- Mokhtarzade, M., ValadanZoej, M.J., Ebadi, H. & Sahebi, M.R., 2010, **An Innovative Image Pace Clustering Technique for Automatic Road Network Vectorization**, Photogrammetric Engineering & Remote Sensing, Vol. 76, No. 7, pp. 841–852.
- Shanmugam, L. & Kaliaperumal, V., 2015, **Water Flow Based Geometric Active Deformable Model for Road Network**, و آیکونوس با استفاده از TerraSAR-X اطلاعات بافت در الگوریتم‌های شبکه عصبی، سنجش از دور و GIS ایران، سال پنجم، شماره چهارم.
- عامری، ف.، ولدان زوج، م.ج.، مختارزاده، م.، مبارکی، ع.م.، ۱۳۹۰، استخراج اشکال متفاوت راه از تصاویر ماهواره‌ای با قدرت تفکیک‌های مختلف مکانی، سنجش از دور و GIS ایران، سال سوم، شماره چهارم، صص. ۱-۱۸.
- محمدزاده، ع.، ۱۳۸۸، استخراج اتوماتیک راه‌های اصلی از تصاویر ماهواره‌ای رنگی بزرگ‌مقیاس با استفاده از منطق فازی و توابع مورفولوژی، پایان نامه دکتری، دانشگاه صنعتی خواجه نصیرالدین طوسی.
- Clode, S., Rottensteiner, F., Kootsookos, P. & Zelniker, E., 2007, **Detection and Vectorization of Roads from Lidar Data**, Photogrammetric Engineering & Remote Sensing 73(5), 517-536.
- Cornelis, C., Verbiest, N. & Jensen, J., 2010, **Ordered Weighted Average Based Fuzzy Rough Sets**, Proceedings of the 5th International Conference on Rough Sets and Knowledge Technology (RSKT 2010), p. 78 – 85.
- Doucette, P., Agouris, P., Stefanidis, A. & Musavi, M., 2001, **Self-Organised Clustering for Road Extraction in Classified Imagery**, ISPRS Journal of Photogrammetry and Remote Sensing (55), 347-358.
- Ferchichi, S. & Wang, S., 2005, **Optimization of Cluster Coverage for Road Center-Line Extraction in High Resolution Satellite Images**, Proceedings of the IEEE International Conference on Image Processing, pp. 201–204
- Jelokhani-Niaraki, M. & Malczewski, J., 2014, A

- Yager, R.R., 1988, **On Ordered Weighted Averaging Aggregation Operators in Multicriteria Decision making**, IEEE Trans. Syst. Man Cybern. Syst. Hum. 18 (1), 183–190.
- Yager, R.R., 1997, **On the Inclusion of Importances in OWA Aggregations**, In: Yager, R.R., J. Kacprzyk, (Eds.), The Ordered Weighted Averaging Operators, Kluwer Academic Publishers, Boston, pp. 41–59.
- ISPRS Journal of Photogrammetry and Remote Sensing, (102) 140–147.
- Stillwell, W.G., Seaver, D.A. & Edwards, W., 1981, **A Comparison of Weight Approximation Techniques in Multi-Attribute Utility Decision Making**, Organ. Behav. Hum.Perform. 28 (1): 62–77.
- Wiedemann, C., 2003, **External Evaluation of Road Networks**, ISPRS Archives, Vol. XXXIV, Part 3/W8, Munich, 17.-19.